

4846  
A-91

4939/2-74



СООБЩЕНИЯ  
ОБЪЕДИНЕННОГО  
ИНСТИТУТА  
ЯДЕРНЫХ  
ИССЛЕДОВАНИЙ

ДУБНА

19<sup>th</sup> XII - 74

10 - 10837

А.Я.Астахов, А.В.Беляев, И.И.Скрыль, С.К.Слепнев,  
Ю.И.Сусов

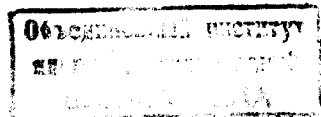
ПРОГРАММА ОЦЕНКИ  
ТОЧНОСТНЫХ ХАРАКТЕРИСТИК  
ИЗМЕРИТЕЛЬНОГО ПРОЕКТОРА БПС-75

**1977**

10 - 10837

А.Я.Астахов, А.В.Беляев, И.И.Скрыль, С.К.Слепnev,  
Ю.И.Сусов

ПРОГРАММА ОЦЕНКИ  
ТОЧНОСТНЫХ ХАРАКТЕРИСТИК  
ИЗМЕРИТЕЛЬНОГО ПРОЕКТОРА БПС-75



Астахов А.Я. и др.

10 - 10837

Программа оценки точностных характеристик измерительного проектора БПС-75

Описан алгоритм программы BPS3U, которая используется для оценки точностных характеристик измерительного проектора БПС-75. С ее помощью можно оценивать точностные характеристики и других измерительных приборов, подобных БПС-75.

Учитываются нелинейные искажения измерительной системы прибора. Точность оценок составляет примерно 10 мкм. Программа написана для ЭВМ СДС 1604-А.

Работа выполнена в Лаборатории вычислительной техники и автоматизации ОИЯИ.

Сообщение Объединенного института ядерных исследований. Дубна 1977

© 1977 Объединенный институт ядерных исследований Дубна

## I. Введение

В данной работе описывается алгоритм программы BPS3U, которая использовалась для оценки точностных характеристик измерительного проектора БПС-75<sup>/1,2/</sup>. Представляемый алгоритм во многом совпадает с алгоритмом программы CALBPS, описанной в работе<sup>/3/</sup>. Отличия между этими программами состоят в следующем: 1) CALBPS ориентирована для использования в конкретной измерительной системе (шесть измерительных проекторов БПС-2 на линии с ЭВМ ТРА-1001), тогда как BPS3U способна проводить калибровку различных измерительных устройств; 2) BPS3U в отличие от CALBPS использует вычисления, выполняемые с двойной точностью, и учитывает нелинейные искажения измерительного проектора.

Программа BPS3U написана для ЭВМ СДС 1604-А<sup>/4/</sup> на языках FORTRAN 63 и CODAP 1.

## 2. Алгоритм калибровки

Тестовым объектом для калибровки проектора служит стеклянная пластина с нанесенным на ее поверхность прецизионным изображением прямоугольной решетки (рис. I).

Введем обозначение координатных осей проектора и нумерацию узлов решетки, как показано на рис. I. Расстояния между узлами решетки, известные с гарантированной точностью, обозначим  $r_i$  и  $q_j$ .

Место  
расположения  
оператора

Поверхность  
обзорного  
экрана

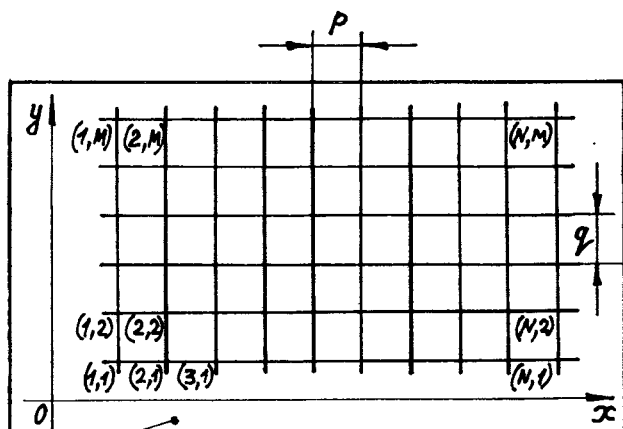


Рис.1

Предположим, что система  $(x, y)$  координат проектора является косоугольной с ценами отсчетов  $\lambda$  и  $\mu$  по осям  $x$  и  $y$  соответственно и с углом  $\varphi$  между осями.

Введем ортогональную декартову систему координат  $(\xi, \eta)$ , в которой координаты  $(\xi_{ij}, \eta_{ij})$  узлов решетки записываются следующим образом:

$$\xi_{ij} = i\rho, \quad \eta_{ij} = j\varphi \quad (i=1, \dots, N; \quad j=1, \dots, M). \quad (I)$$

Обозначим:  $\vec{r}_{ij} = (\xi_{ij}, \eta_{ij})$  – радиус-вектор узла  $(i, j)$ . Паре координат  $(\xi_{ij}, \eta_{ij})$  соответствует пара  $(x_{ij}, y_{ij})$ , получающаяся при измерении координат узла  $(i, j)$  (рис.2).

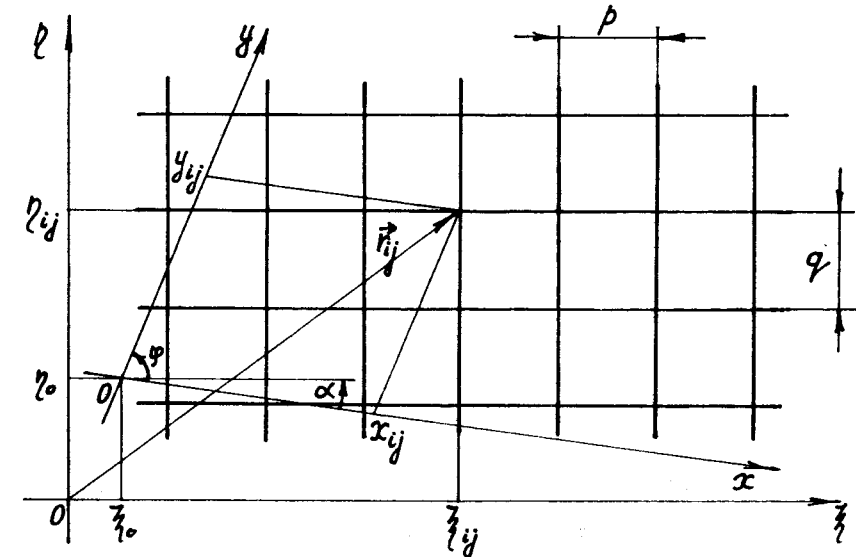


Рис.2

Рассмотрим линейное преобразование

$$\begin{cases} \xi'_{ij} = a x_{ij} + b y_{ij} + \xi_0, \\ \eta'_{ij} = c x_{ij} + d y_{ij} + \eta_0. \end{cases} \quad (i=1, \dots, N; \quad j=1, \dots, M) \quad (2)$$

Обозначим:  $\vec{r}'_{ij} = (\xi'_{ij}, \eta'_{ij})$  – измеренный радиус-вектор узла  $(i, j)$ . В силу того, что система координат  $(x, y)$ , вообще говоря, является криволинейной, не существует такого преобразования (2), чтобы

$$\vec{r}_{ij} = \vec{r}'_{ij} \quad (i=1, \dots, N; \quad j=1, \dots, M). \quad (3)$$

Выберем параметры  $\alpha, \beta, c, d, \xi_0$  и  $\eta_0$  такими, чтобы условие (3) соблюдалось "наилучшим образом". Для этого потребуем, чтобы функционал  $\Phi$

$$\begin{aligned}\Phi &= \Phi(\alpha, \beta, c, d, \xi_0, \eta_0) = \sum_{ij} (\vec{r}'_{ij} - \vec{r}_{ij})^2 = \\ &= \sum_{ij} \vec{\delta r}_{ij}^2 = \sum_{ij} [\delta \xi_{ij}^2 + \delta \eta_{ij}^2] = \\ &= \sum_{ij} [(\xi'_{ij} - \xi_{ij})^2 + (\eta'_{ij} - \eta_{ij})^2]\end{aligned}$$

принял минимальное значение, т.е. чтобы выполнились условия

$$\frac{\partial \Phi}{\partial \alpha} = \frac{\partial \Phi}{\partial \beta} = \frac{\partial \Phi}{\partial c} = \frac{\partial \Phi}{\partial d} = \frac{\partial \Phi}{\partial \xi_0} = \frac{\partial \Phi}{\partial \eta_0} = 0. \quad (4)$$

Подставим (1) и (2) в уравнения (4); опустив промежуточные выкладки, получим две нормальные системы из трех линейных уравнений, записанные ниже в матричной форме:

$$R \cdot \begin{pmatrix} \alpha \\ \beta \\ \xi_0 \end{pmatrix} = P \cdot \begin{pmatrix} \langle x, i \rangle \\ \langle y, i \rangle \\ \langle l, i \rangle \end{pmatrix} \quad \text{и} \quad R \cdot \begin{pmatrix} c \\ d \\ \eta_0 \end{pmatrix} = Q \cdot \begin{pmatrix} \langle x, j \rangle \\ \langle y, j \rangle \\ \langle l, j \rangle \end{pmatrix}, \quad (5)$$

где матрица  $R$  есть

$$R = \begin{pmatrix} \langle x, x \rangle & \langle x, y \rangle & \langle x, l \rangle \\ \langle y, x \rangle & \langle y, y \rangle & \langle y, l \rangle \\ \langle l, x \rangle & \langle l, y \rangle & \langle l, l \rangle \end{pmatrix}.$$

При этом введено обозначение:

$$\langle s, t \rangle = \sum_{ij} \omega_{ij} s_{ij} t_{ij}, \quad (i=1, \dots, N; \quad j=1, \dots, M),$$

где  $\omega_{kl}=0$ , если узел  $(k, l)$  не был измерен (или был измерен с большой погрешностью),  $\omega_{kl}=1$  в противном случае. Решением систем (5) служат значения  $\hat{\alpha}, \hat{\beta}, \hat{c}, \hat{d}, \hat{\xi}_0$  и  $\hat{\eta}_0$  параметров, минимизирующие функционал  $\Phi$ .

Грубо ошибочные измерения отбрасываются следующим образом. Обозначим:

$$\hat{\sigma}_r = + \sqrt{\frac{\Phi(\hat{\alpha}, \hat{\beta}, \hat{c}, \hat{d}, \hat{\xi}_0, \hat{\eta}_0)}{1,1}}.$$

Будем считать грубо ошибочными (и выбросим из рассмотрения) измеренные координаты тех узлов решетки, для которых

$$|\vec{\delta r}_{ij}| = |\vec{r}'_{ij} - \vec{r}_{ij}| > 3 \hat{\sigma}_r.$$

После отбрасывания грубо ошибочных координат вновь решаются системы уравнений (5). Получив окончательные значения параметров  $\hat{\alpha}, \hat{\beta}, \hat{c}, \hat{d}, \hat{\xi}_0$  и  $\hat{\eta}_0$ , можно определить величины  $\hat{\lambda}, \hat{\mu}, \hat{\varphi}$  и  $\hat{\alpha}$ , служащие оценками параметров  $\lambda, \mu, \varphi$  и  $\alpha$ , которые характеризуют измерительную систему  $(x, y)$  проектора ( $\alpha$  – угол между осями  $x$  и  $y$ ). Для этого заметим (рис.2), что

$$\begin{cases} \xi = (\lambda \cos \alpha) x + [\mu \cos(\varphi - \alpha)] y + \xi_0, \\ \eta = -(\lambda \sin \alpha) x + [\mu \sin(\varphi - \alpha)] y + \eta_0. \end{cases} \quad (6)$$

Сравнив (6) с (2), получаем:

$$\begin{aligned}\hat{\lambda} &= \sqrt{\hat{\alpha}^2 + \hat{c}^2}, & \hat{\mu} &= \sqrt{\hat{\beta}^2 + \hat{d}^2}, \\ \operatorname{ctg} \hat{\varphi} &= \frac{\hat{\alpha} \hat{\beta} + \hat{c} \hat{d}}{\hat{\alpha} \hat{d} - \hat{\beta} \hat{c}}, & \operatorname{ctg} \hat{\alpha} &= -\frac{\hat{\alpha}}{\hat{\beta}}.\end{aligned}$$

С нахождением оценок параметров  $\hat{\lambda}, \hat{\mu}$  и  $\hat{\varphi}$  задача калибровки, в общем, решена. Величина  $\hat{\sigma}_r$  указывает на степень расхождения между характеристиками реальной измерительной системы проектора и теми предположениями относительно нее, которые были нами сделаны.

В таблице I представлены результаты калибровок трех каналов проектора.

Таблица I

канал	эксп.	NxM	p <sub>xq</sub> (мм)	λ (мкм)	μ̂ (мкм)	Φ̂ (рад)	Г̂ <sub>r</sub> (мкм)
I	59	11x15	20x4	2,500376	2,494310	1,570638	90,128
3	60	9x12	15x5	2,501101	2,519491	1,573678	112,947
4	55	9x12	15x5	2,501508	2,544675	1,574600	95,330

### 3. Исключение систематических погрешностей измерительной системы проектора

После проведения калибровок измерительной системы проектора по алгоритму, описанному в п.2, была выявлена ее нелинейность вида

$$\delta \xi_{ij} = f_1(\eta_{ij}) \quad \text{и} \quad \delta \eta_{ij} = f_2(\eta_{ij}). \quad (7)$$

Так как угол  $\alpha$  мал, для каждой данной калибровки мы можем вместо зависимостей (7) рассматривать зависимости вида

$$\bar{\delta \xi}_j = \Psi_1(\eta_{ij}) \quad \text{и} \quad \bar{\delta \eta}_j = \Psi_2(\eta_{ij}), \quad (8)$$

где

$$\bar{\delta \xi}_j = \frac{\sum \delta \xi_{ij}}{N} \quad \text{и} \quad \bar{\delta \eta}_j = \frac{\sum \delta \eta_{ij}}{N} \quad (j=1, \dots, M).$$

На рис.3 изображены типичные графики зависимостей (8) (для случая канал 4, эксперимент 55).

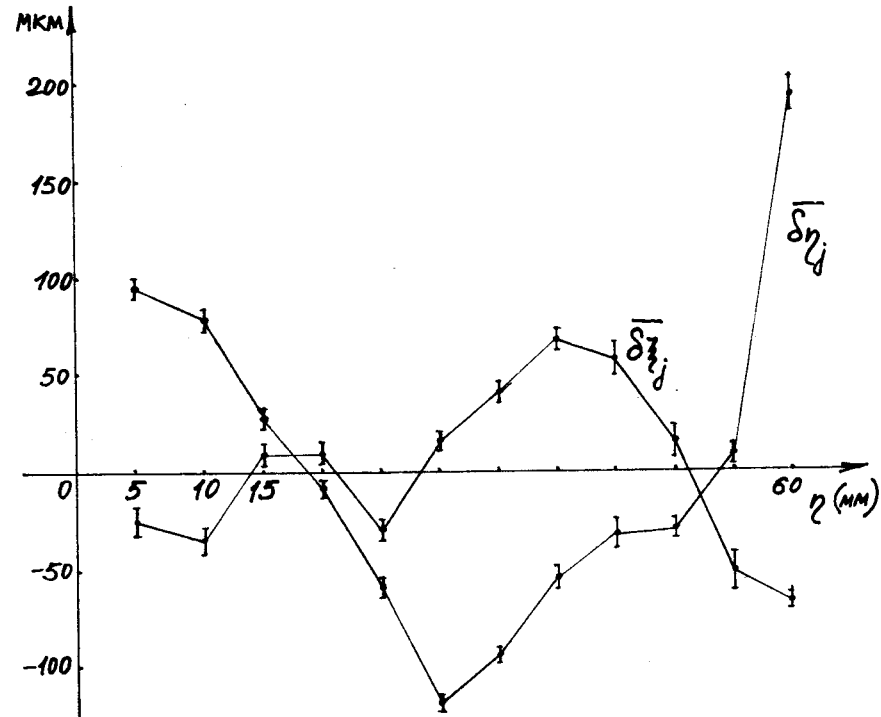


Рис.3

Очевидно, наличие этой нелинейности приводило к тому, что значение  $\hat{G}_r$ , как правило, имело величину, существенно большую, чем случайная ошибка измерения. В таблице 2 приведены значения величины

$$\hat{G}_r' = + \sqrt{\frac{\Phi'(\hat{a}, \hat{b}, \hat{c}, \hat{d}, \hat{\xi}_0, \hat{\eta}_0)}{<1,1>}},$$

где

$$\Phi'(\hat{a}, \hat{b}, \hat{\varepsilon}, \hat{d}, \hat{\xi}_o, \hat{\eta}_o) = \sum_{ij} [(\delta \xi_{ij} - \bar{\delta} \xi_j)^2 + (\delta \eta_{ij} - \bar{\delta} \eta_j)^2]$$

для тех же калибровок, данные по которым приводятся в таблице I.

Таблица 2

канал	эксп.	$\hat{\sigma}'_r$ (мкм)
I	59	10,404
3	60	11,087
4	55	8,321

Для устранения нелинейности (7) в процесс калибровки была введена коррекция координат  $(x_{ij}, y_{ij})$  с помощью специальной таблицы коррекции.

Такая таблица коррекции (своя для каждого из каналов) получается на основании усреднения численных зависимостей (8) по данным нескольких калибровок, в каждой из которых начало координат системы  $(x, y)$  устанавливалось в одной и той же точке. Величины  $\delta \xi_j$  и  $\delta \eta_j$ , полученные после уточнения координат  $(x_{ij}, y_{ij})$  по таблице коррекции (для 4-го канала, эксперимент 55), приведены на рис.4а и 4б.

Результаты калибровок с использованием таблиц коррекции даны в таблице 3.

Таблица 3

канал	эксп.	NxM	p·q (мм)	$\hat{\lambda}$ (мкм)	$\hat{\mu}$ (мкм)	$\hat{\varphi}$ (рад)	$\hat{\sigma}'_r$ (мкм)
I	59	11x15	20x4	2,500387	2,494217	I,570606	10,929
3	60	9x12	15x5	2,501109	2,518804	I,573610	11,538
4	55	9x12	15x5	2,501508	2,543368	I,574426	11,813

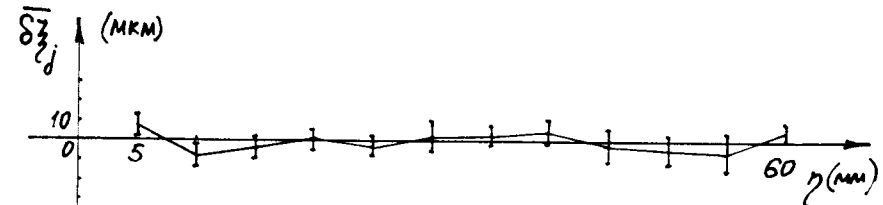


Рис. 4а

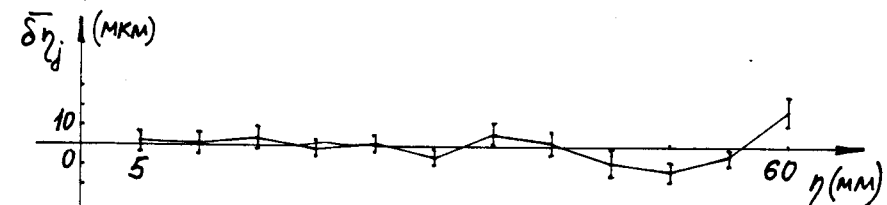


Рис. 4б

#### 4. I2-параметрическая калибровка

I2-параметрическая калибровка была сделана для того, чтобы попытаться обойтись без процедуры построения (и использования) таблиц коррекции. Для этого вместо линейного преобразования (2) было использовано квадратичное:

$$\begin{cases} \xi'_{ij} = ax_{ij}^2 + bx_{ij}y_{ij} + cy_{ij}^2 + dx_{ij} + ey_{ij} + f, \\ \eta'_{ij} = gx_{ij}^2 + hx_{ij}y_{ij} + ry_{ij}^2 + ux_{ij} + vy_{ij} + w. \end{cases} \quad (2')$$

$(i=1, \dots, N; \quad j=1, \dots, M)$

Минимизация функционала  $\Phi$  проводилась соответственно по I2 параметрам:

$$\frac{\partial \Phi}{\partial a} = \frac{\partial \Phi}{\partial b} = \dots = \frac{\partial \Phi}{\partial v} = \frac{\partial \Phi}{\partial w} = 0.$$

Оказалось, что преобразование (2') все же недостаточно точно описывает измерительную систему проектора, т.к. после такой калибровки сохранялись нелинейности типа (7), хотя величина  $\hat{\sigma}_r$  в этом случае и становилась меньше, чем для преобразования (2). Это иллюстрируется таблицей 4.

Таблица 4

канал	эксп.	$\hat{\sigma}_r$ (мкм)	
		Линейное преобразование	Квадратичное преобразование
3	60	112,947	58,942
4	55	95,330	43,224

В заключение авторы выражают признательность Т.А.Степановой и Г.М.Комову за помощь в работе во время проведения точностных испытаний проектора.

ЛИТЕРАТУРА

1. А.Я.Астахов и др. Универсальный просмотрово-измерительный стол БПС-ЗУ, предназначенный для обработки снимков с трековых камер. ОИЯИ, ИО-6629, Дубна, 1972.
2. В.А.Астафьев, А.Я.Астахов и др. Измерительный проектор БПС-75. ОИЯИ, ИО-9880, Дубна, 1976.
3. Л.П.Калмыкова и др. Программа калибровки больших просмотрово-измерительных столов БПС-2 на линии с ЭВМ ТРД-1001. ОИЯИ, ИО-8808, Дубна, 1975.
4. 1604-A Reference Manual, CDC, Pub. № 245.

Рукопись поступила в издательский отдел  
II июля 1977 года.